



Dauphine | PSL 
UNIVERSITÉ PARIS

Inria

Méthodes numériques sans grille pour la régularisation de problèmes inverses par la variation totale

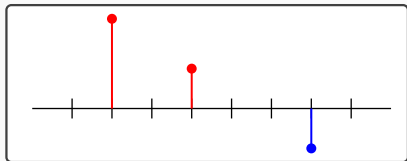
Yohann De Castro, Vincent Duval, Romain Petit

CANUM, 13 Juin 2022

Reconstruction de signaux parcimonieux

Vecteurs parcimonieux

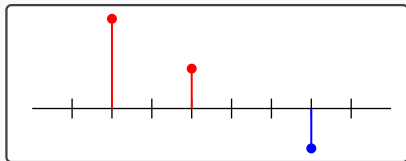
- $x_0 = \sum_i a_i (0, \dots, 1, \dots, 0)$



Reconstruction de signaux parcimonieux

Vecteurs parcimonieux

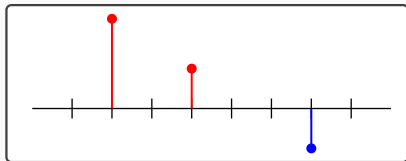
- $x_0 = \sum_i a_i (0, \dots, 1, \dots, 0)$
- $y = \Phi x_0 + w$



Reconstruction de signaux parcimonieux

Vecteurs parcimonieux

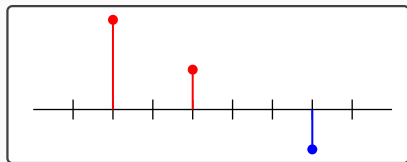
- $x_0 = \sum_i a_i (0, \dots, 1, \dots, 0)$
- $y = \Phi x_0 + w$
- $\min_{x \in \mathbb{R}^d} \frac{1}{2} \|\Phi x - y\|^2 + \lambda \|x\|_1$



Reconstruction de signaux parcimonieux

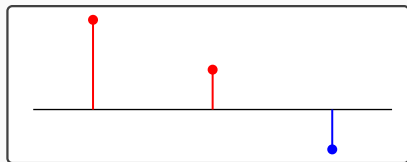
Vecteurs parcimonieux

- $x_0 = \sum_i a_i (0, \dots, 1, \dots, 0)$
- $y = \Phi x_0 + w$
- $\min_{x \in \mathbb{R}^d} \frac{1}{2} \|\Phi x - y\|^2 + \lambda \|x\|_1$



Mesures atomiques

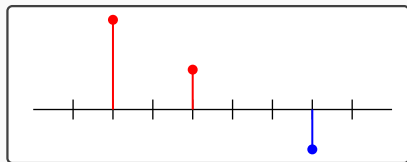
- $\mu_0 = \sum_i a_i \delta_{x_i}$



Reconstruction de signaux parcimonieux

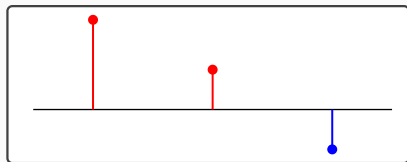
Vecteurs parcimonieux

- $x_0 = \sum_i a_i (0, \dots, 1, \dots, 0)$
- $y = \Phi x_0 + w$
- $\min_{x \in \mathbb{R}^d} \frac{1}{2} \|\Phi x - y\|^2 + \lambda \|x\|_1$



Mesures atomiques

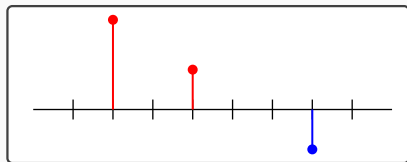
- $\mu_0 = \sum_i a_i \delta_{x_i}$
- $y = \Phi \mu_0 + w$



Reconstruction de signaux parcimonieux

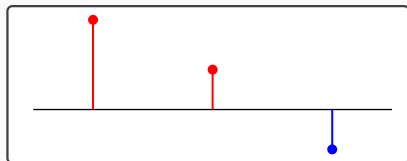
Vecteurs parcimonieux

- $x_0 = \sum_i a_i (0, \dots, 1, \dots, 0)$
- $y = \Phi x_0 + w$
- $\min_{x \in \mathbb{R}^d} \frac{1}{2} \|\Phi x - y\|^2 + \lambda \|x\|_1$



Mesures atomiques

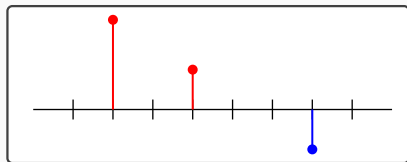
- $\mu_0 = \sum_i a_i \delta_{x_i}$
- $y = \Phi \mu_0 + w$
- $\min_{\mu \in \mathcal{M}(\mathcal{X})} \frac{1}{2} \|\Phi \mu - y\|^2 + \lambda |\mu|(\mathcal{X})$



Reconstruction de signaux parcimonieux

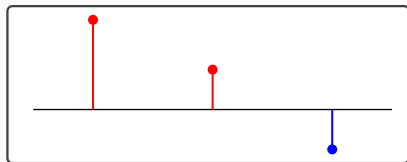
Vecteurs parcimonieux

- $x_0 = \sum_i a_i (0, \dots, 1, \dots, 0)$
- $y = \Phi x_0 + w$
- $\min_{x \in \mathbb{R}^d} \frac{1}{2} \|\Phi x - y\|^2 + \lambda \|x\|_1$



Mesures atomiques

- $\mu_0 = \sum_i a_i \delta_{x_i}$
- $y = \Phi \mu_0 + w$
- $\min_{\mu \in \mathcal{M}(\mathcal{X})} \frac{1}{2} \|\Phi \mu - y\|^2 + \lambda |\mu|(\mathcal{X})$



Fonctions "simples"

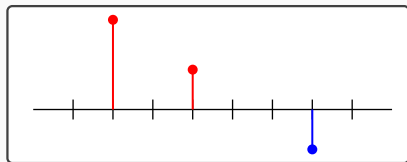
- $u_0 = \sum_i a_i \mathbf{1}_{E_i}$



Reconstruction de signaux parcimonieux

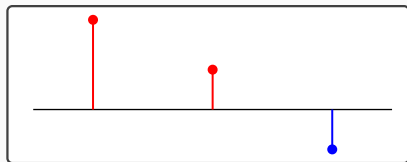
Vecteurs parcimonieux

- $x_0 = \sum_i a_i (0, \dots, 1, \dots, 0)$
- $y = \Phi x_0 + w$
- $\min_{x \in \mathbb{R}^d} \frac{1}{2} \|\Phi x - y\|^2 + \lambda \|x\|_1$



Mesures atomiques

- $\mu_0 = \sum_i a_i \delta_{x_i}$
- $y = \Phi \mu_0 + w$
- $\min_{\mu \in \mathcal{M}(\mathcal{X})} \frac{1}{2} \|\Phi \mu - y\|^2 + \lambda |\mu|(\mathcal{X})$



Fonctions "simples"

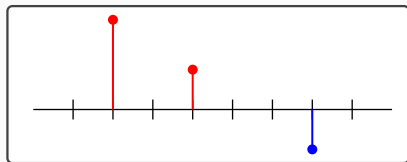
- $u_0 = \sum_i a_i \mathbf{1}_{E_i}$
- $y = \Phi u_0 + w$



Reconstruction de signaux parcimonieux

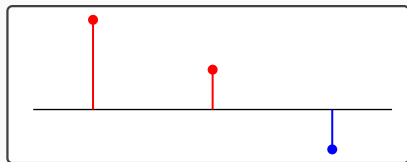
Vecteurs parcimonieux

- $x_0 = \sum_i a_i (0, \dots, 1, \dots, 0)$
- $y = \Phi x_0 + w$
- $\min_{x \in \mathbb{R}^d} \frac{1}{2} \|\Phi x - y\|^2 + \lambda \|x\|_1$



Mesures atomiques

- $\mu_0 = \sum_i a_i \delta_{x_i}$
- $y = \Phi \mu_0 + w$
- $\min_{\mu \in \mathcal{M}(\mathcal{X})} \frac{1}{2} \|\Phi \mu - y\|^2 + \lambda |\mu|(\mathcal{X})$



Fonctions "simples"

- $u_0 = \sum_i a_i \mathbf{1}_{E_i}$
- $y = \Phi u_0 + w$
- $\min_u \frac{1}{2} \|\Phi u - y\|^2 + \lambda R(u)$



Résoudre

$$\min_{u \in L^2(\mathbb{R}^2)} T_\lambda(u) \stackrel{\text{def.}}{=} \frac{1}{2} \|\Phi u - y\|^2 + \lambda \text{TV}(u) \quad (\mathcal{P}_\lambda(y))$$

Résoudre

$$\min_{u \in L^2(\mathbb{R}^2)} T_\lambda(u) \stackrel{\text{def.}}{=} \frac{1}{2} \|\Phi u - y\|^2 + \lambda \text{TV}(u) \quad (\mathcal{P}_\lambda(y))$$

Variation totale (du gradient)

- $\text{TV}(u) = \sup \left\{ - \int_{\mathbb{R}^2} u \operatorname{div} \phi \mid \phi \in C_c^\infty(\mathbb{R}^2, \mathbb{R}^2), \|\phi\|_\infty \leq 1 \right\}$

Résoudre

$$\min_{u \in L^2(\mathbb{R}^2)} T_\lambda(u) \stackrel{\text{def.}}{=} \frac{1}{2} \|\Phi u - y\|^2 + \lambda \text{TV}(u) \quad (\mathcal{P}_\lambda(y))$$

Variation totale (du gradient)

- $\text{TV}(u) = \sup \left\{ - \int_{\mathbb{R}^2} u \operatorname{div} \phi \mid \phi \in C_c^\infty(\mathbb{R}^2, \mathbb{R}^2), \|\phi\|_\infty \leq 1 \right\}$
- Si u lisse, $\text{TV}(u) = \int_{\mathbb{R}^2} |\nabla u|$

Résoudre

$$\min_{u \in L^2(\mathbb{R}^2)} T_\lambda(u) \stackrel{\text{def.}}{=} \frac{1}{2} \|\Phi u - y\|^2 + \lambda \text{TV}(u) \quad (\mathcal{P}_\lambda(y))$$

Variation totale (du gradient)

- $\text{TV}(u) = \sup \left\{ - \int_{\mathbb{R}^2} u \operatorname{div} \phi \mid \phi \in C_c^\infty(\mathbb{R}^2, \mathbb{R}^2), \|\phi\|_\infty \leq 1 \right\}$
- Si u lisse, $\text{TV}(u) = \int_{\mathbb{R}^2} |\nabla u|$
- Si $u = a \mathbf{1}_E$, $\text{TV}(u) = |a| \operatorname{Per}(E)$

Résoudre

$$\min_{u \in L^2(\mathbb{R}^2)} T_\lambda(u) \stackrel{\text{def.}}{=} \frac{1}{2} \|\Phi u - y\|^2 + \lambda \text{TV}(u) \quad (\mathcal{P}_\lambda(y))$$

Variation totale (du gradient)

- $\text{TV}(u) = \sup \left\{ - \int_{\mathbb{R}^2} u \operatorname{div} \phi \mid \phi \in C_c^\infty(\mathbb{R}^2, \mathbb{R}^2), \|\phi\|_\infty \leq 1 \right\}$
- Si u lisse, $\text{TV}(u) = \int_{\mathbb{R}^2} |\nabla u|$
- Si $u = a \mathbf{1}_E$, $\text{TV}(u) = |a| \operatorname{Per}(E)$

Résoudre

$$\min_{u \in L^2(\mathbb{R}^2)} T_\lambda(u) \stackrel{\text{def.}}{=} \frac{1}{2} \|\Phi u - y\|^2 + \lambda \text{TV}(u) \quad (\mathcal{P}_\lambda(y))$$

Variation totale (du gradient)

- $\text{TV}(u) = \sup \left\{ - \int_{\mathbb{R}^2} u \operatorname{div} \phi \mid \phi \in C_c^\infty(\mathbb{R}^2, \mathbb{R}^2), \|\phi\|_\infty \leq 1 \right\}$
- Si u lisse, $\text{TV}(u) = \int_{\mathbb{R}^2} |\nabla u|$
- Si $u = a \mathbf{1}_E$, $\text{TV}(u) = |a| \operatorname{Per}(E)$

Th. (avec [Fleming, 1957])

Certaines sol. sont des combinaisons lin. d'au plus m indicatrices d'ensembles simples

Résoudre

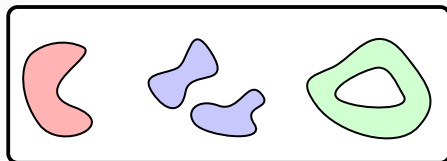
$$\min_{u \in L^2(\mathbb{R}^2)} T_\lambda(u) \stackrel{\text{def.}}{=} \frac{1}{2} \|\Phi u - y\|^2 + \lambda \text{TV}(u) \quad (\mathcal{P}_\lambda(y))$$

Variation totale (du gradient)

- $\text{TV}(u) = \sup \{ - \int_{\mathbb{R}^2} u \operatorname{div} \phi \mid \phi \in C_c^\infty(\mathbb{R}^2, \mathbb{R}^2), \|\phi\|_\infty \leq 1 \}$
- Si u lisse, $\text{TV}(u) = \int_{\mathbb{R}^2} |\nabla u|$
- Si $u = a \mathbf{1}_E$, $\text{TV}(u) = |a| \operatorname{Per}(E)$

Th. (avec [Fleming, 1957])

Certaines sol. sont des combinaisons lin. d'au plus m indicatrices d'ensembles simples



Discrétisations de la variation totale (images : [Tabti et al., 2018])

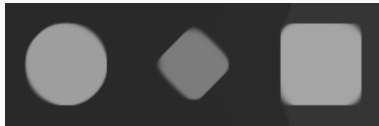
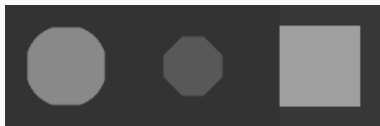


Anisotrope

- $\sum_{ij} |(D_x u)_{ij}| + |(D_y u)_{ij}|$
- Bords nets, biais de grille

Isotrope

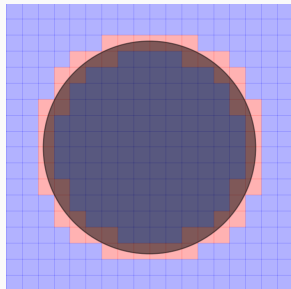
- $\sum_{ij} \sqrt{(D_x u)_{ij}^2 + (D_y u)_{ij}^2}$
- Flou



Représentation d'images simples

Grille fixe

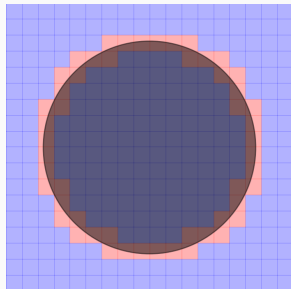
- $\mathcal{O}(1/h^2)$ pixels
- $\mathcal{O}(1/h)$ pixels "utiles"
- $u \mapsto \text{TV}(u)$ convexe



Représentation d'images simples

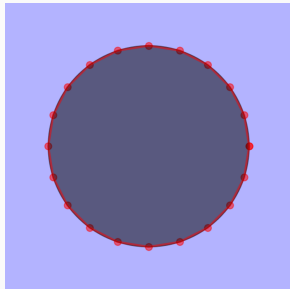
Grille fixe

- $\mathcal{O}(1/h^2)$ pixels
- $\mathcal{O}(1/h)$ pixels "utiles"
- $u \mapsto \text{TV}(u)$ convexe



Discretisation des bords

- Plus compact pour img. simple
- Plus complexe numériquement
- $E \mapsto \text{TV}(\mathbf{1}_E)$ "non convexe"



Frank-Wolfe

$$\min_{x \in C} f(x)$$

- $s_k \ni \underset{s \in C}{\text{Argmin}} f(x_k) + df(x_k) \cdot (s - x_k)$
- $x_{k+1} = x_k + \gamma_k (s_k - x_k)$

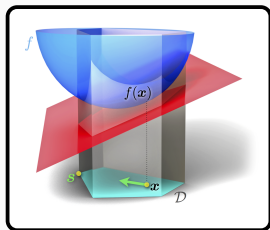


Image : Stephanie Stutz et Martin Jaggi

Itérées combinaisons convexes de quelques points extrémaux de C

Frank-Wolfe

$$\min_{x \in C} f(x)$$

- $s_k \ni \operatorname{Argmin}_{s \in C} f(x_k) + df(x_k) \cdot (s - x_k)$
- $x_{k+1} = x_k + \gamma_k (s_k - x_k)$

Notre cadre

$$\min_{\substack{(u,t) \text{ s.t.} \\ \operatorname{TV}(u) \leq t \leq t_0}} \frac{1}{2} \|\Phi u - y\|^2 + \lambda t$$

$$\eta_k \stackrel{\text{def.}}{=} \Phi^*(\Phi u_k - y)$$

- $E_{k+1} \ni \operatorname{Argmax}_{E \subset \mathbb{R}^2} |\int_E \eta_k| / P(E)$
- $u_{k+1} = \alpha_k u_k + \beta_k \mathbf{1}_{E_{k+1}}$

Itérées combinaisons linéaires de quelques indicatrices d'ensembles simples

Frank-Wolfe (variante)

$$\min_{x \in C} f(x)$$

- $s_k \ni \underset{s \in C}{\text{Argmin}} f(x_k) + df(x_k) \cdot (s - x_k)$
- $\tilde{x}_{k+1} = x_k + \gamma_k (s_k - x_k)$
- Trouver x_{k+1} s.t. $f(x_{k+1}) \leq f(\tilde{x}_{k+1})$

Notre cadre

$$\min_{\substack{(u,t) \text{ s.t.} \\ \text{TV}(u) \leq t \leq t_0}} \frac{1}{2} \|\Phi u - y\|^2 + \lambda t$$

$$\eta_k \stackrel{\text{def.}}{=} \Phi^*(\Phi u_k - y)$$

- $E_{k+1} \ni \underset{E \subset \mathbb{R}^2}{\text{Argmax}} \left| \int_E \eta_k \right| / P(E)$
- $u_{k+1} = \alpha_k u_k + \beta_k \mathbf{1}_{E_{k+1}}$

Itérées combinaisons linéaires de quelques indicatrices d'ensembles simples

Frank-Wolfe (variante)

$$\min_{x \in C} f(x)$$

- $s_k \ni \underset{s \in C}{\text{Argmin}} f(x_k) + df(x_k) \cdot (s - x_k)$
- $x_{k+1} = x_k + \gamma_k (s_k - x_k)$
- Optim. loc. de la combin. convexe

[Bredies and Pikkarainen, 2013]

[Denoyelle et al., 2019]

Notre cadre

$$\min_{(u,t) \text{ s.t. } \text{TV}(u) \leq t \leq t_0} \frac{1}{2} \|\Phi u - y\|^2 + \lambda t$$

$$\eta_k \stackrel{\text{def.}}{=} \Phi^*(\Phi u_k - y)$$

- $E_{k+1} \ni \underset{E \subset \mathbb{R}^2}{\text{Argmax}} |\int_E \eta_k| / P(E)$
- $u_{k+1} = \alpha_k u_k + \beta_k \mathbf{1}_{E_{k+1}}$
- Opt. loc. $(a, E) \mapsto T_\lambda(\sum_i a_i \mathbf{1}_{E_i})$

Itérées combinaisons linéaires de quelques indicatrices d'ensembles simples

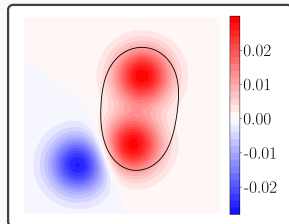
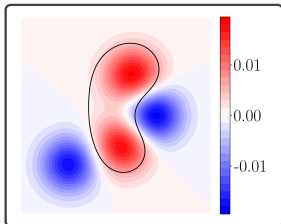
Résoudre

$$\max_{E \subset \mathbb{R}^2} \frac{|\int_E \eta|}{P(E)} \quad \text{s.t.} \quad |E| < +\infty, 0 < P(E) < +\infty$$

Le problème de Cheeger

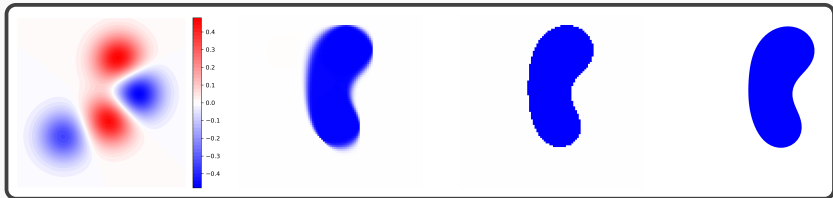
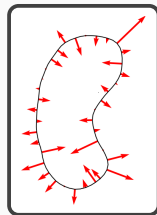
Résoudre

$$\max_{E \subset \mathbb{R}^2} \frac{|\int_E \eta|}{P(E)} \quad \text{s.t.} \quad |E| < +\infty, 0 < P(E) < +\infty$$

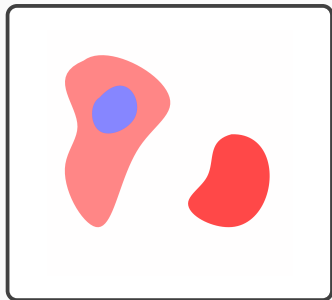


“Descente de gradient de forme”

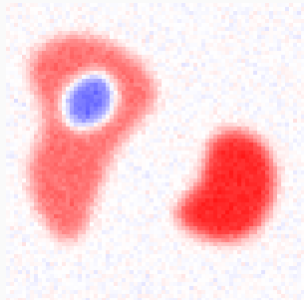
- $E_{n+1} = (Id + \epsilon_n \theta_n)(E_n)$
- $\theta_n \in \text{Argmax}_{\theta \in \Theta_{ad}} \lim_{\epsilon \rightarrow 0^+} \frac{J((Id + \epsilon \theta)(E_n)) - J(E_n)}{\epsilon}$



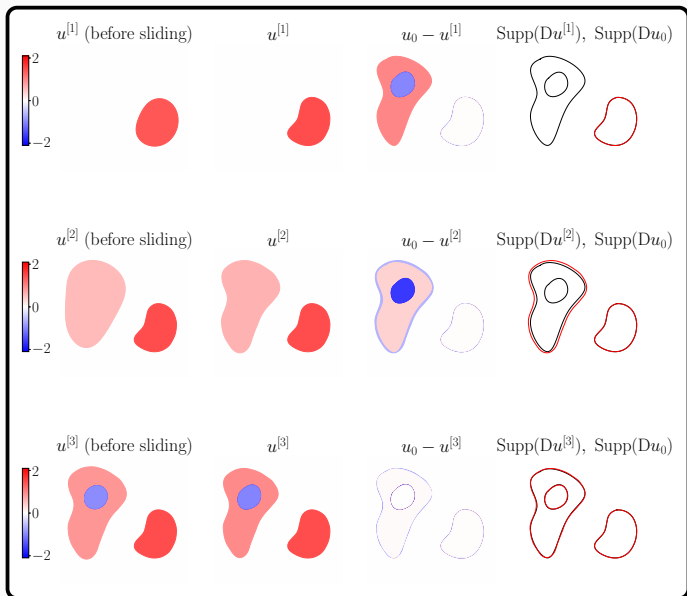
Implémentation : github.com/rpetit/PyCheeger

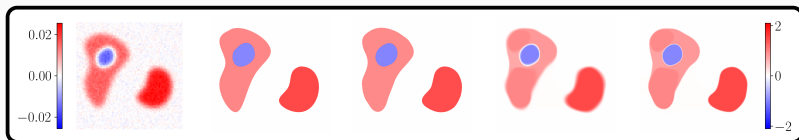


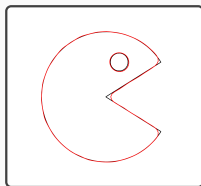
Signal



Observations







Résumé

- Algorithme convergent
- Méthode num. sans grille
- Tol. approx. [Jaggi, 2013]

Résumé

- Algorithme convergent
- Méthode num. sans grille
- Tol. approx. [Jaggi, 2013]

Perspectives

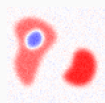
- Convergence en temps fini ?
- Étude th. sliding ?
- Améliorer sliding num. ?

Résumé

- Algorithme convergent
- Méthode num. sans grille
- Tol. approx. [Jaggi, 2013]

Perspectives

- Convergence en temps fini ?
- Étude th. sliding ?
- Améliorer sliding num. ?





Bredies, K. and Pikkarainen, H. K. (2013).

Inverse problems in spaces of measures.

ESAIM: Control, Optimisation and Calculus of Variations,
19(1):190–218.



Chambolle, A. and Lions, P.-L. (1997).

Image recovery via total variation minimization and related problems.




Numerische Mathematik, 76(2):167–188.



Chambolle, A. and Pock, T. (2021).

Approximating the total variation with finite differences or finite elements.

In Bonito, A. and Nochetto, R. H., editors, *Handbook of Numerical Analysis*, volume 22 of *Geometric Partial Differential Equations - Part II*, pages 383–417. Elsevier.

-  Denoyelle, Q., Duval, V., Peyre, G., and Soubies, E. (2019).
The Sliding Frank-Wolfe Algorithm and its Application to Super-Resolution Microscopy.
Inverse Problems.
-  Fleming, W. H. (1957).
Functions with generalized gradient and generalized surfaces.
Annali di Matematica Pura ed Applicata, 44(1):93–103.
-  Jaggi, M. (2013).
Revisiting Frank-Wolfe: Projection-Free Sparse Convex Optimization.
In International Conference on Machine Learning, pages 427–435.
PMLR.



Rudin, L. I., Osher, S., and Fatemi, E. (1992).

Nonlinear total variation based noise removal algorithms.

Physica D: Nonlinear Phenomena, 60(1):259–268.

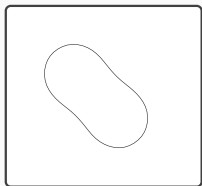


Tabti, S., Rabin, J., and Elmoata, A. (2018).

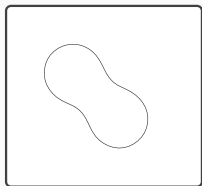
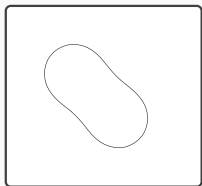
Symmetric Upwind Scheme for Discrete Weighted Total Variation.

In *2018 IEEE International Conference on Acoustics, Speech and Signal Processing (ICASSP)*, pages 1827–1831.

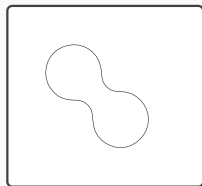
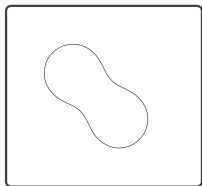
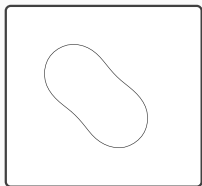
Topology changes during the local descent



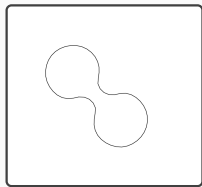
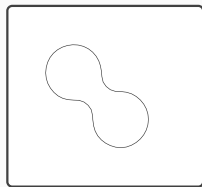
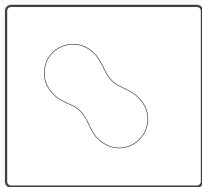
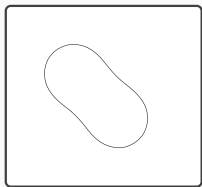
Topology changes during the local descent



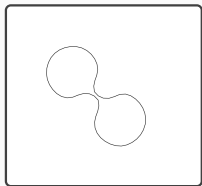
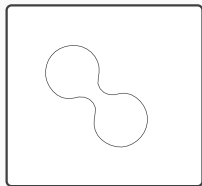
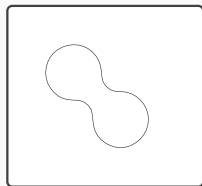
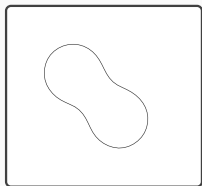
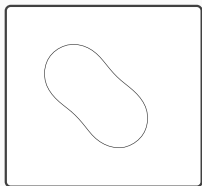
Topology changes during the local descent



Topology changes during the local descent



Topology changes during the local descent



Topology changes during the local descent

